

# ЭЛЕКТРОННАЯ СТРУКТУРА НИТРИДОВ РuN И UN

**A. В. Лукоянов<sup>a,b\*</sup>, В. И. Анисимов<sup>a,b</sup>**

<sup>a</sup> Институт физики металлов им. М. Н. Михеева Уральского отделения Российской академии наук  
620090, Екатеринбург, Россия

<sup>b</sup> Уральский федеральный университет  
620002, Екатеринбург, Россия

Поступила в редакцию 27 ноября 2015 г.

Электронная структура нитридов урана и плутония была исследована при нормальных условиях и под давлением при помощи зонного метода LDA+U+SO, учитывающего как спин-орбитальную связь, так и сильные корреляции 5f-электронов актиоидных ионов. Величины параметров этих взаимодействий для равновесной кубической структуры были дополнительно вычислены. Приложение давления приводит к уменьшению магнитного момента в PuN вследствие преобладания электронной  $f^6$ -конфигурации и связи  $jj$ -типа. В UN увеличение заселенности 5f-состояний приводит к уменьшению магнитного момента, что также обнаружено в тригональной структуре  $\beta$ -фазы  $UN_x$  (структуре La<sub>2</sub>O<sub>3</sub>-типа). Полученные теоретические результаты хорошо согласуются с опубликованными экспериментальными данными.

DOI: 10.7868/S0044451016110183

## 1. ВВЕДЕНИЕ

Соединения PuN и UN представляют большой интерес для исследователей с точки зрения планируемых применений нитридного ядерного топлива [1]. Оба нитрида кристаллизуются в структуре каменной соли NaCl и при высоких температурах проявляют свойства кюри-вейссовских парамагнетиков с эффективным магнитным моментом  $\mu_{eff} = 1.08\mu_B$  [2],  $1.5\mu_B$  [3] для PuN и  $\mu_{eff} = 2.66\mu_B$  для UN [4]. При этом UN упорядочен антиферромагнитно до  $T_N = 53$  К с моментом  $0.75\mu_B$ . Описание магнитных и спектральных характеристик нитридов плутония и урана зонными методами представляет особый интерес для дальнейшего исследования нитридного ядерного топлива на их основе.

Теоретическое исследование актиоидных систем, таких как чистые металлы плутоний и уран, а особенно их соединения, осложняется присутствием в 5f-оболочке сильной спин-орбитальной связи, сопоставимой по величине с обменным кулоновским взаимодействием, поэтому им также нельзя пренебречь и необходимо включать в рассмотрение в рамках зонных методов. Мононитриды плутония и урана в данной работе исследовались в рамках зонно-

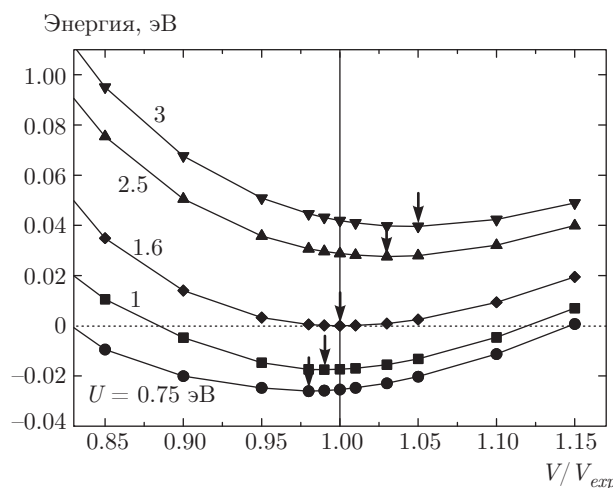
го метода LDA+U+SO [5], основанного на теории функционала плотности и использующего приближение локальной электронной плотности LDA с поправками на сильное электрон-электронное взаимодействие и спин-орбитальную связь.

## 2. МЕТОД РАСЧЕТА

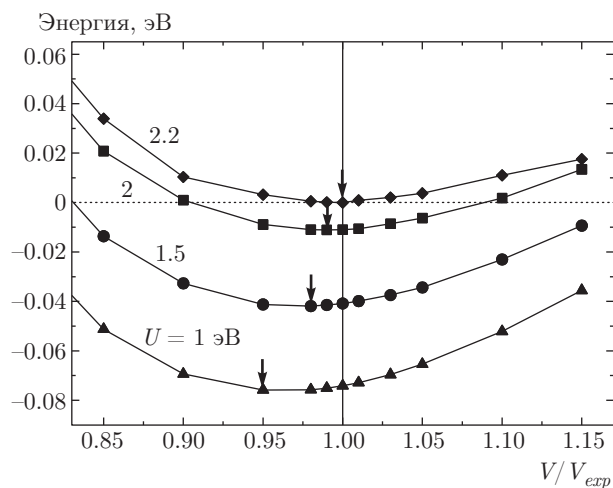
Ввиду того, что для 5f-электронов важен учет не только спин-орбитального взаимодействия, но и электронных корреляций, для PuN и UN были проведены расчеты электронной структуры при помощи метода LDA+U+SO [5]. Данный метод использует метод линеаризованных маффин-тин орбиталей в приближении атомных сфер [6], и включает учет обоих указанных взаимодействий электронов 5f-оболочки в полной матричной форме. В последние годы данный метод хорошо зарекомендовал себя при исследовании свойств соединений актиоидных элементов [7]. Интегрирование методом тетраэдров осуществлялось с использованием сетки  $k$ -точек в обратном пространстве с полным числом  $8 \times 8 \times 8 = 512$ . В орбитальный базис были включены МТ-орбитали, соответствующие 7s-, 6p-, 5d- и 5f-состояниям актиоидного металла, и 2s-, 2p-состояниям азота.

Параметры  $U$  прямого кулоновского взаимодействия получены из условия совпадения равновесно-

\* E-mail: lukoyanov@imp.uran.ru



**Рис. 1.** Зависимости полной энергии основного состояния PuN от параметра кулоновского взаимодействия  $U$  в проведенных расчетах LDA+U+SO. Энергия дана относительно величины для равновесного объема



**Рис. 2.** Зависимости полной энергии основного состояния UN от параметра кулоновского взаимодействия  $U$  в проведенных расчетах LDA+U+SO. Энергия дана относительно величины для равновесного объема

го объема ячейки и экспериментальных данных: для UN —  $U = 2.2$  эВ, для PuN —  $U = 1.6$  эВ. На рис. 1 и 2 представлены рассчитанные зависимости энергии основного состояния UN и PuN от параметра кулоновского взаимодействия  $U$  в проведенных LDA+U+SO-расчетах.

Величины параметров  $J_H$  обменного (хундовского) взаимодействия для 5f-оболочки Ru и U были вычислены в рамках процедуры сверхячейки [8] отдельно для обоих соединений и далее не изменялись для ячеек с меньшим объемом. Параметр

обменного взаимодействия при этом вычисляется в расчете LSDA как разность энергий взаимодействия для электронных пар противоположно и однородно направленных по спину. Его значение оказалось равным 0.48 эВ для U и Ru в обоих нитридах, проведенные расчеты для объемов, обсуждаемых в данной работе, показали, что изменение рассчитанного параметра составляет менее 0.01 эВ, поэтому данная величина (0.48 эВ) использовалась во всех расчетах. Вместе с тем, использование точных значений параметра обменного взаимодействия важно в актиноидных элементах, поскольку именно оно создает баланс со спин-орбитальным взаимодействием при формировании магнитного состояния [5]. Полученные значения параметров использовались во всех расчетах.

При расчете электронной структуры применялся метод LDA+U+SO [5], в котором последовательно учитываются кулоновское взаимодействие и спин-орбитальная связь 5f-электронов, а задача решается в полной матричной форме. В данном методе впервые были получены корректное немагнитное решение для металлического плутония без примесей, а также величины магнитных моментов для целого ряда соединений плутония в хорошем согласии с экспериментом [5]. Самосогласованные функции Грина из метода LDA+U+SO использовались в рамках многозонной модели проводимости для расчета температурной зависимости электросопротивления при нормальных условиях и под давлением [9, 10].

При анализе типа связи и электронной конфигурации иона плутония следует учитывать, что в 5f-оболочке плутония реализуется промежуточный тип связи [5], а не  $jj$  или  $LS$ , с флуктуациями между несколькими валентными состояниями. Связь Рассела–Саундерса ( $LS$ -связь) реализуется в случае, когда спин-орбитальное взаимодействие значительно слабее прямого кулоновского и обменного взаимодействий, а спиновые и орбитальные моменты электронов складываются соответственно в спин  $S$  и орбитальный момент  $L$  иона. В противоположном пределе ( $jj$ -связь) сильное спин-орбитальное взаимодействие приводит к формированию полного момента каждого электрона  $j$ , который складывается в полный момент иона  $J$ . В актиноидных элементах спин-орбитальное взаимодействие конкурирует по силе с обменным взаимодействием, что приводит к реализации промежуточного типа связи, а не одного из предельных случаев ( $jj$ - или  $LS$ -связи).

Близость промежуточного типа связи к  $jj$ - или  $LS$ -связи иона плутония можно оценить с помощью рассчитанных в рамках метода LDA+U+SO вели-

чин спина ( $S$ ), орбитального ( $L$ ) и полного ( $J$ ) моментов  $5f$ -оболочки. Для этого нужно учесть тот факт, что величины полного момента для чистых связей  $jj$  и  $LS$  совпадают ( $J = 2.5$  для  $f^5$  или  $J = 0$  для  $f^6$ ). Тогда электронную конфигурацию иона плутония в соединении можно представить как смешанное состояние  $(1-x)f^6 + xf^5$ . Поскольку каждая из конфигураций характеризуется своими значениями  $S$  и  $L$  (например, для конфигурации  $f^6$  имеем  $S = 3$  и  $L = 3$  в схеме связи  $LS$  и  $S = 0, L = 0$  в схеме связи  $jj$ ), рассчитанное значение полного момента можно представить как  $J = 2.5x + 0(1-x)$ . В данном соотношении рассчитанный полный момент иона плутония представляется в виде линейной комбинации значений полного момента  $J$  для электронных конфигураций  $f^5$  ( $J = 2.5$ ) и  $f^6$  ( $J = 0$ ). При этом схема промежуточной связи упрощенно представляется как смесь вкладов  $jj$ - и  $LS$ -связей с соответствующими весами:

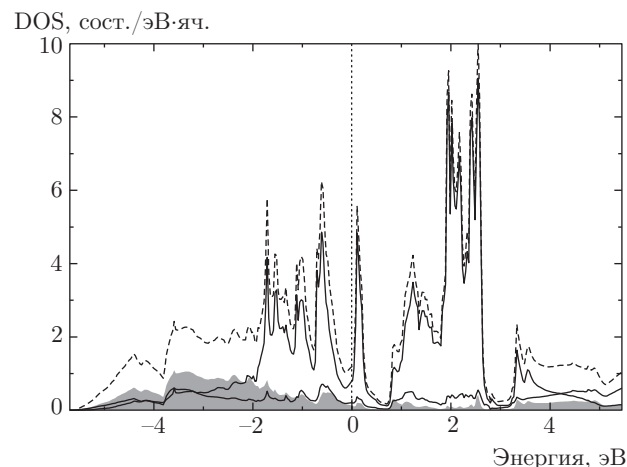
$$L = x[2.86y + 5(1-y)] + (1-x)[0y + 3(1-y)],$$

$$S = x[0.36y + 2.5(1-y)] + (1-x)[0y + 3(1-y)].$$

С использованием величин  $L$  и  $S$ , рассчитанных в рамках метода LDA+U+SO, записанная выше система трех уравнений позволяет оценить близость промежуточной связи к типу  $jj$  ( $y$ ) или  $LS$  ( $1-y$ ). Необходимость введения дополнительной переменной  $y$  даже при рассмотрении только предельных типов связи ( $LS$  и  $jj$ ) возникает из-за необходимости учета возможности реализации каждого из них для каждой из рассматриваемых электронных конфигураций,  $f^5$  или  $f^6$ . Величина эффективного параметрического момента из зависимости магнитной восприимчивости, подчиняющейся закону Кюри–Вейса, вычисляется как  $\mu_{eff} = g_{eff}[J(J+1)]^{1/2}\mu_B$  — эффективный фактор Ланде  $g$  определяется с учетом типа связи.

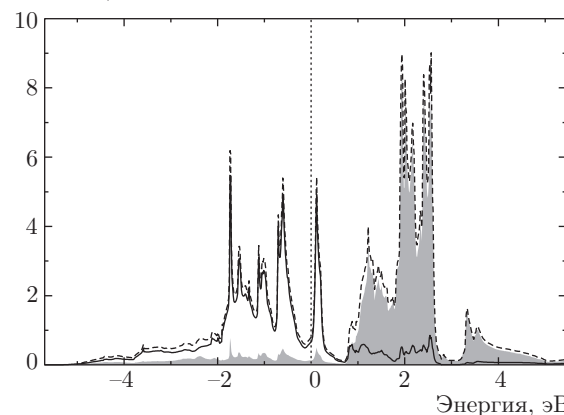
### 3. РЕЗУЛЬТАТЫ И ОБСУЖДЕНИЕ

Полученные в результате расчетов плотности электронных состояний PuN (рис. 3 и 4) показывают присутствие сильного спин-орбитального расщепления  $5f$ -зоны на две подзоны — почти полностью лежащую ниже уровня Ферми и содержащую мощный пик на уровне Ферми с величиной полного момента  $j = 5/2$  и подзону с  $j = 7/2$  — практически пустую. Анализ заселенности дает для этих подзон  $n(j = 5/2) = 4.64$  и  $n(j = 7/2) = 0.87$ . Рассчитанные спектры PuN находятся в хорошем согласии с фотоэмиссионными спектрами [11]: в заполненной



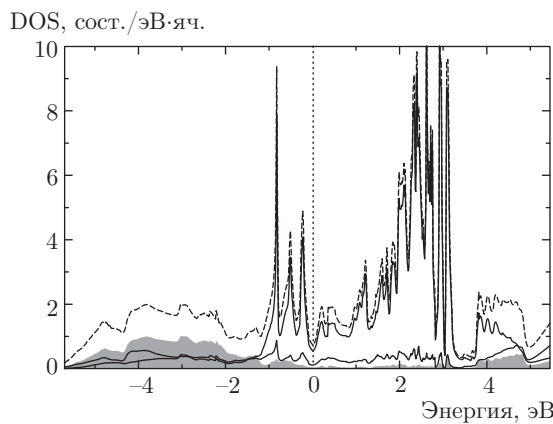
**Рис. 3.** Полная (штриховая линия) и парциальные (сплошные линии) плотности электронных состояний PuN:  $6d$  и  $5f$  — соответственно светлая и темная сплошные линии, затемненная область соответствует  $2p$ -состояниям азота. Уровень Ферми соответствует нулю энергии

DOS, сост./эВ·яч.

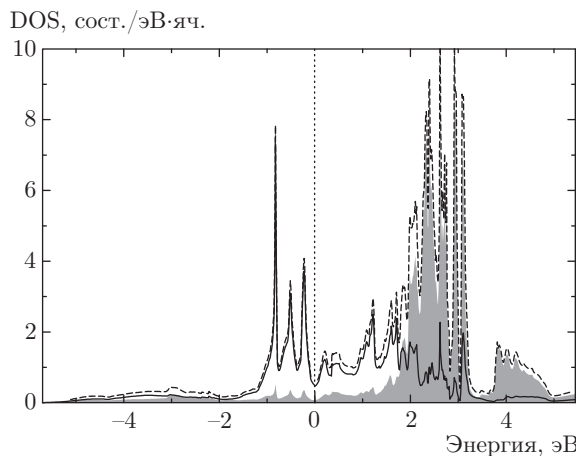


**Рис. 4.** Парциальные  $5f$ -плотности электронных состояний PuN (штриховая линия) и парциальные  $j = 7/2$  (сплошная линия) и  $j = 5/2$  (затемненная область) плотности электронных состояний. Уровень Ферми соответствует нулю энергии

части состояний PuN выделяются острый пик на уровне Ферми и пик при 0.85 эВ и 0.5 эВ, а также 1.4 эВ, азотные  $p$ -состояния располагаются от 1.7 эВ до 5 эВ ниже уровня Ферми. Магнитная конфигурация, полученная для PuN, характеризуется значениями  $S = 1.2, L = 3, J = 1.8$ , смешанной конфигурацией, близкой к  $f^5$  [5], и промежуточным типом связи с преобладанием (61 %)  $jj$ -связи. Магнитный момент в предположении чистой  $LS$ -связи составляет  $0.65\mu_B$ , а чистой  $jj$ -связи —  $1.94\mu_B$ , с учетом оцененного промежуточного характера связи точная величина магнитного момента рассчитана как



**Рис. 5.** Полная (штриховая линия) и парциальные (сплошные линии и затемненная область) плотности электронных состояний UN:  $6d$  и  $5f$  — соответственно сплошная линия и затемненная область. Уровень Ферми соответствует нулю энергии



**Рис. 6.** Парциальные  $5f$ -плотности электронных состояний UN (штриховая линия) и парциальные  $j = 7/2$  (сплошная линия) и  $j = 5/2$  (затемненная область) плотности электронных состояний. Уровень Ферми соответствует нулю энергии

$1.44\mu_B$ . Полученная величина отличается от экспериментального значения эффективного магнитного момента  $1.08\mu_B$ , приведенного в работе [2], но находится в отличном согласии с экспериментальной величиной  $1.5\mu_B$ , приведенной в работе [3]. В качестве возможной причины столь сильного расхождения экспериментальных данных стоит упомянуть о значительной пористости образцов RuN, изученных в работе [2].

Для нитрида урана вычисленные плотности состояний приведены на рис. 5 и показывают сильное разделение  $j = 5/2$  и  $j = 7/2$  подзон с частично заполненной зоной  $j = 5/2$  симметрии, располагаю-

щейся до 2 эВ ниже энергии Ферми (см. рис. 6), аналогично фотоэмиссионным спектрам [12]. Анализ заселенности дает для этих подзон  $n(j = 5/2) = 2.52$  и  $n(j = 7/2) = 0.73$ . Вычисленная конфигурация  $S = 0.7$ ,  $L = 3.5$  позволяет оценить эффективный магнитный момент для конфигурации  $f^3$  со значениями фактора Ланде для чистой  $LS$ -связи (0.73) и  $jj$ -связи (0.86) соответственно как  $2.40\mu_B$  и  $2.83\mu_B$ , что отлично согласуется с экспериментальным значением  $2.66\mu_B$  [4].

Влияние давления как изменения объема ячейки при всестороннем расширении или сжатии ячейки было изучено для мононитрида плутония. В рамках метода LDA+U+SO были проведены расчеты для нескольких ячеек около равновесного объема ячейки, известного из литературы, определяемого постоянной ячейки  $4.905\text{ \AA}$  при комнатной температуре. Параметры  $U$  и  $J$  выбирались согласно результатам расчетов, приведенных на рис. 1. Так, при сжатии ячейки до 0.98 равновесного объема ячейки была получена смешанная конфигурация  $S = 0.6$ ,  $L = 1.3$ ,  $J = 0.7$ , близкая к  $f^6$  (72%) с промежуточным типом связи с существенным преобладанием (83%)  $jj$ -связи, что дало уменьшение магнитного момента до величин в предположении чистой  $LS$ -связи  $0.3\mu_B$ , чистой  $jj$ -связи —  $0.9\mu_B$ . При расширении ячейки до 1.05 равновесного объема ячейки была получена смешанная конфигурация  $S = 1.4$ ,  $L = 3.6$ ,  $J = 2.2$ , близкая к  $f^5$  (87%) с промежуточным типом связи (52%  $jj$ -связи), что, наоборот, усилило магнетизм с величинами эффективного магнитного момента в предположении чистой  $LS$ -связи  $0.8\mu_B$ , чистой  $jj$ -связи —  $2.3\mu_B$ . Увеличение параметра ячейки экспериментально наблюдается до величины  $4.954\text{ \AA}$  при  $743^\circ\text{C}$ , что в проведенных расчетах дает 1.03 равновесного объема. Соответственно, динамика изменения характеристик при увеличении объема напрямую связана с эффектами расширения ячейки при росте температуры. Таким образом, при уменьшении объема на атом плутония получено усиление немагнитной  $f^6$ -конфигурации и  $jj$ -типа связи, а увеличение объема приводит к усилиению магнетизма, обусловленного преобладанием электронной  $f^5$ -конфигурации.

Для определения влияния давления моделировалось изменение объема ячейки при всестороннем расширении и сжатии для мононитрида урана в рамках метода LDA+U+SO. Были проведены расчеты для нескольких ячеек около равновесного объема ячейки, определяемого постоянной ячейки  $4.890\text{ \AA}$  при комнатной температуре. При сжатии ячейки до 0.95 равновесного объема ( $U = 1$  эВ, см. рис. 2) бы-

ло получено уменьшение спина и моментов  $S = 0.6$ ,  $L = 2.4$ ,  $J = 1.8$  с падением эффективного магнитного момента для конфигурации  $f^3$  для чистой  $LS$ - и  $jj$ -связей соответственно до величин  $1.6\mu_B$  и  $1.9\mu_B$ . Из экспериментальных данных сжатие ячейки мононитрида урана до 0.95 равновесного объема соответствует приложенному давлению до 14 ГПа. Расширение ячейки до 1.05 равновесного объема ( $U = 3.5$  эВ) дает небольшой рост параметров магнитного состояния:  $S = 0.9$ ,  $L = 4.4$ ,  $J = 3.5\mu_B$ ,  $2.9\mu_B$  ( $LS$ ),  $J = 3.4\mu_B$  ( $jj$ ).

Проведенные расчеты для нестехиометрического состава  $UN_x$  ( $U_2N_3$ ) в низкосимметричной тригональной структуре  $La_2O_3$ -типа показали, что ионы актиноидного металла характеризуются следующей конфигурацией:  $S = 0.6$ ,  $L = 3$ ,  $J = 2.4$ , что позволяет оценить эффективный магнитный момент для конфигурации  $f^3$  со значениями фактора Ланде для чистой  $LS$ -связи и  $jj$ -связи соответственно как  $2.1\mu_B$  и  $2.5\mu_B$ . При этом заселенность  $5f$ -оболочки урана почти на 0.2 электрона меньше, а ближайшее окружение изменилось.

#### 4. ЗАКЛЮЧЕНИЕ

При помощи зонного метода LDA+U+SO проведено исследование электронной структуры и магнитного состояния нитридов урана и плутония при нормальных условиях и под давлением. Величины параметров кулоновского и обменного взаимодействий для равновесных кубических структур были вычислены дополнительно. Показано, что при приложении давления магнитный момент в  $PuN$  уменьшается вследствие преобладания  $f^6$ -электронной конфигурации и связи  $jj$ -типа, а в  $UN$  увеличение заселенности  $5f$ -состояний приводит к уменьшению магнитного момента, что также обнаружено в тригональной структуре  $\beta$ -фазы  $UN_x$ .

Работа выполнена в рамках государственного задания ФАНО России (тема «Электрон», № 01201463326) и программы Президента РФ СП-226.2015.2, при частичной поддержке Правительства Российской Федерации (постановление № 211, контракт № 02.A03.21.0006).

#### ЛИТЕРАТУРА

1. *Functional Materials*, ed. by S. Banerjee and A. Tyagi, Elsevier (2012).
2. G. Raphaël and C. H. de Novion, Sol. St. Comm. **7**, 791 (1969).
3. A. Boeuf, R. Caciuffo, J. M. Fournier et al., Sol. St. Comm. **52**, 451 (1984).
4. C. F. Van Doorn and P. de V. du Plessis, J. Low Temp. Phys. **28**, 391 (1977).
5. A. O. Shorikov, A. V. Lukoyanov, M. A. Korotin, and V. I. Anisimov, Phys. Rev. B **72**, 024458 (2005).
6. O. K. Andersen, Phys. Rev. B **12**, 3060 (1975).
7. А. В. Лукоянов, А. О. Шориков, В. И. Анисимов и др., Письма в ЖЭТФ **96**, 499 (2012).
8. O. Gunnarsson, O. K. Andersen, O. Jepsen et al., Phys. Rev. B **39**, 1708 (1989).
9. Yu. Yu. Tsiovkin, M. A. Korotin, A. O. Shorikov et al., Phys. Rev. B **76**, 075119 (2007).
10. Yu. Yu. Tsiovkin, A. V. Lukoyanov, A. O. Shorikov et al., J. Nucl. Mater. **413**, 41 (2011).
11. L. Havela, F. Wastin, J. Rebizant, and T. Gouder, Phys. Rev. B **68**, 085101 (2003).
12. B. Reihl, G. Hollinger, and F. J. Himpsel, Phys. Rev. B **28**, 1490 (1983).